

สมรรถนะของเครื่องยนต์สเตอร์ลิงแบบความแตกต่างของอุณหภูมิต่ำ

Performance of Low Temperature Differential Stirling Engine.

บัญชา คงตระกูล และ ไพบูล นาพผล

ภาควิชาวิศวกรรมเครื่องกล คณะวิศวกรรมศาสตร์ มหาวิทยาลัยศรีนครินทรวิโรฒ

องครักษ์ นครนายก 26120

โทรศัพท์ (662) 02-6641000 Ext. 2055, โทรสาร 037-322609

Bancha Kongtragool and Paisarn Naphon

Department of Mechanical Engineering, Faculty of Engineering, Srinakharinwirot University

Ongkharak, Nakhornnayok 26120, Thailand

Tel: (662) 02-6641000 Ext. 2055, Fax. 037-322609

บทคัดย่อ

งานวิจัยนี้ได้ศึกษาถึงการออกแบบและทดสอบถึงหลักการทำงานของเครื่องยนต์สเตอร์ลิง ที่สภาวะความแตกต่างของอุณหภูมิของส่วนที่ร้อน (Heat source) และส่วนที่เย็น (Heat sink) ต่ำ ลักษณะของเครื่องยนต์เป็นแบบแกมม่า เครื่องยนต์ที่ออกแบบมีขนาด Power piston 9.7 ลูกบาศก์เซนติเมตร และ Displacer 388 ลูกบาศก์เซนติเมตร อัตราส่วนปริมาตร 40:1 พลังงานความร้อนที่ให้กับระบบได้จากการเกียงอัลกออล โดยให้ความร้อนที่ปลายน้ำด้านล่างของเครื่องยนต์ ในขณะที่ส่วนบนของเครื่องยนต์จะหล่อเย็นโดยใช้น้ำเย็น ผลจากการทดลองพบว่า ความแตกต่างของอุณหภูมิต่ำสุดที่เครื่องยนต์สามารถเริ่มทำงานได้ประมาณ 15 องศาเซลเซียส ที่ความแตกต่างของอุณหภูมิสูงสุด 58 องศาเซลเซียส เครื่องยนต์มีความเร็วรอบที่ 97.8 รอบ/นาที กำลังจาก การคำนวณ 0.308 วัตต์ และประสิทธิภาพความร้อนประมาณ 15.55%.

Abstract

The present study focuses on the designed and performance of the stirling engine, low difference temperature. The gamma configuration of stirling engine is designed, with the volume power piston cylinder and displacer of 9.7, 388 cc, the volume ratio of 40:1. The heating from the alcohol lamp is used for heat the system at the lower end while the cool water is used as coolant at the upper end of the Stirling engine. The results shows that the minimum difference temperature for stirling engine work is 15 °C. At the maximum difference temperature is 58 °C, the revolution speed of 97.8 rpm, calculated power output of 0.308 W and 15.55% thermal efficiency.

บทนำ

เครื่องยนต์สเตอร์ลิงแบบความแตกต่างของอุณหภูมิต่ำคือเครื่องยนต์สเตอร์ลิงซึ่งทำงานได้ โดยใช้ความแตกต่างของอุณหภูมิระหว่างปลาญด้านร้อนกับปลาญด้านเย็นของ displacer น้อยที่สุด

ในขณะที่เครื่องยนต์สเตอร์ลิงธรรมดาจะยิ่งได้กำลังมากขึ้นถ้าความแตกต่างของอุณหภูมิระหว่างปลาญด้านร้อนกับปลาญด้านเย็นยิ่งแตกต่างกันมาก (ขึ้นอยู่กับการ Machining , ประสิทธิภาพของ Mechanical drive และการลดแรงเสียดทานให้น้อยที่สุดด้วย) แต่ในเครื่องยนต์สเตอร์ลิงแบบความแตกต่างของอุณหภูมิต่ำจะเดินเครื่องที่ความแตกต่างของอุณหภูมิต่ำที่สุดเท่าที่จะเป็นไปได้ พัฒนาการใหม่ๆ เหมาะสมกับการทำเครื่องยนต์สเตอร์ลิงสำหรับการสาธารณูปโภค การทำงานของวัสดุจัดการสเตอร์ลิง ซึ่งเป็นที่สนใจเพิ่มมากขึ้นในไม่กี่ปีที่ผ่านมา

เครื่องยนต์สเตอร์ลิงแบบความแตกต่างของอุณหภูมิต่ำสามารถจำแนกได้เป็น 2 แบบ แบบแรกเรียกว่าเครื่องยนต์ Ringbom ซึ่งทำงานโดยใช้หลักการของ Ringbom โดยจะมีเฉพาะ power piston เท่านั้นที่ต่ออยู่กับข้อเหวี่ยงและ flywheel ตัว displacer จะเป็นอิสระอยู่ใน guide เครื่องยนต์แบบนี้พบมากกว่าเครื่องยนต์อีกแบบหนึ่งซึ่งมีโครงสร้างเหมือนกับเครื่องยนต์สเตอร์ลิงธรรมดา โดยทั้ง displacer และ power piston ต่างก็ต่ออยู่กับเพลาข้อเหวี่ยงและ flywheel ทั้งคู่ โดยข้อเหวี่ยง out of phase กัน 90 องศาตามปกติ

คุณลักษณะที่สำคัญบางประการของเครื่องยนต์สเตอร์ลิงแบบความแตกต่างของอุณหภูมิต่ำคือ

- Displacer และกระบอกสูบ displacer มีขนาดใหญ่ โดย displacer สั้น และมีช่วงชักสั้น
- อัตราส่วนปริมาตรระหว่างกระบอกสูบ displacer และกระบอกสูบ power piston มีค่าสูงมาก
- ฝาสูบหันสองด้านของ displacer ซึ่งเป็นปลาญด้านร้อนและปลาญด้านเย็นนั้นเป็นวัสดุที่สามารถถ่ายเทความร้อนได้ดี

- มี dwell period ตรงปลายระยะชักของ displacer มากกว่าเครื่องยนต์สเตอร์ลิงธรรมดา
- ทำงานที่ความเร็วอบต่ำ

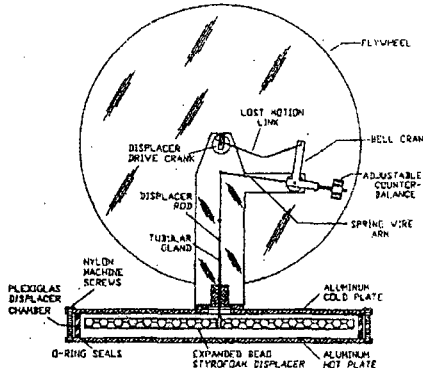
กานทวนวรรถกรรม นักประดิษฐ์เครื่องยนต์สเตอร์ลิงแบบนี้มีจินตนาการกว้างไกล บางคันสร้างเครื่องยนต์จาก perspex, plastic, polystyrene/styrofoam และวัสดุอื่นต่างๆ มาประกอบกัน บางคันเดินเครื่องยนต์แบบนี้โดยใช้ความร้อนจากฝาถัง บางคันใช้น้ำแข็งเพื่อทำให้เกิดความแตกต่างของอุณหภูมิระหว่างปลายด้านร้อนกับปลายด้านเย็น

จุดเริ่มต้นของเครื่องยนต์สเตอร์ลิงแบบความแตกต่างของอุณหภูมิ คือสามารถสืบย้อนไปจนถึง Prof. Ivor Kolin แห่ง Zagreb ผู้ซึ่งมีประสบการณ์หลายปีในการสร้างเครื่องยนต์จำนวนมาก จนกระทั่งในปี ค.ศ.1983 เขาได้เสนอเรื่องของยนต์ซึ่งทำงานโดยใช้ความแตกต่างของอุณหภูมิระหว่างปลายด้านร้อนกับปลายด้านเย็นของ displacer ต่ำ เพียง 15°C การสร้างเครื่องยนต์นี้ต้องพึงการทดลองอย่างมาก เกี่ยวข้องทั้งในแบบรูปแบบของเครื่องยนต์สเตอร์ลิงดังเดิมและหลักการของ Ringbom

Prof. James R. Senft แห่งมหาวิทยาลัย Wisconsin สหรัฐอเมริกา ได้ศึกษาในรายละเอียดอย่างลึกของเครื่องยนต์ Ringbom และ derivatives ของเครื่องยนต์ Ringbom รวมทั้งเครื่องยนต์สเตอร์ลิงแบบความแตกต่างของอุณหภูมิต่อ Prof. Senft ได้ทำการทดลองกับเครื่องยนต์สเตอร์ลิงแบบความแตกต่างของอุณหภูมิต่อ Prof. Senft ซึ่งเป็นเครื่องยนต์ที่น่าสนใจมาก เพราะสามารถทำงานได้ที่ความแตกต่างของอุณหภูมิต่อ Prof. Senft ให้ได้เครื่องยนต์ P-19 ซึ่งเป็นเครื่องยนต์ที่น่าสนใจมาก เพราะสามารถทำงานได้ที่ความแตกต่างของอุณหภูมิต่อ Prof. Senft ซึ่งเป็นเครื่องยนต์ที่น่าสนใจมาก คือ 0.5°C เท่านั้น แหล่งให้ความร้อนคือฝาถัง หลังจากว่างเครื่องยนต์บนฝาถังให้มีการถ่ายเทความร้อนประมาณ 15 วินาที ก็สามารถเดินเครื่องยนต์ได้และเพียงไม่กี่นาทีก็จะมีความเร็วสูงถึง 60 รอบ/นาที อีกครึ่งหนึ่งที่จะทำให้เกิดความแตกต่างของอุณหภูมิก็คือโดยการวางแก๊สก้อนน้ำแข็งไว้ด้านเย็นของ displacer ซึ่งจะทำให้อุณหภูมิของด้านเย็นของ displacer ต่ำกว่าอุณหภูมิบรรยายการตอบข้าง

การพัฒนาให้ได้ผลลัพธ์ที่ดีที่สุดยังไงกวนันดูเป็นสิ่งที่ยากมาก รายงานของ Prof. Senft (ISEC Paper เสนอที่ Dubrovnik 1991) ได้ก่อให้เกิดการกระตุ้นอย่างมากเกี่ยวกับหลักการของเครื่องยนต์สเตอร์ลิง และเครื่องยนต์ความร้อนทั่วไป ในรายงานนี้จุดมุ่งหมายอยู่ที่การสร้างเครื่องยนต์ที่สามารถทำงานโดยใช้ความแตกต่างของอุณหภูมิ 2°C หรือต่ำกว่า เครื่องยนต์นี้จะประกอบด้วย displacer สร้างจาก perspex และสูญญากาศ power piston ทำจาก graphite เพื่อลดแรงเสียดทานให้เหลือน้อยที่สุด และมีการใช้ balance linkage สำหรับหัว displacer และ power piston

เครื่องยนต์สเตอร์ลิงแบบความแตกต่างของอุณหภูมิต่อแบบอื่น คือ Solar Stirling motor ของ Prof. Ivor Kolin ซึ่งมีขนาดคือ 200 mm x 200 mm x 40 mm หรือ 140 mm x 140 mm x 30 mm โดยกระบวนการอุ่น displacer ไปร่วงใส่ ทำจาก Madrolon ให้ความร้อนด้วยพลังงานแสงอาทิตย์ หรือกระแสไฟฟ้า ทำงานโดยมีความแตกต่างของอุณหภูมิ 20°C



รูปที่ 1 เครื่องยนต์ P-19 ของ Prof. Senft's

เครื่องมือไดนามิกส์ของวัฏจักรสเตอร์ลิง งานของวัฏจักรคือ

$$W_{net} = \int p \, dv$$

$$W_{3-4} + W_{1-2} = \int_3^4 p \, dv + \int_1^2 p \, dv \\ = R T_3 \ln \frac{V_4}{V_3} + R T_1 \ln \frac{V_2}{V_1}$$

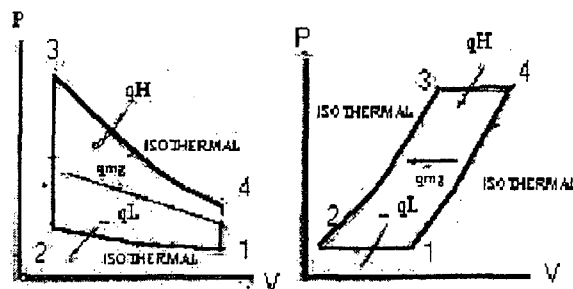
เนื่องจาก $V_2 = V_3$ และ $V_1 = V_4$ ดังนั้น

$$W_{net} = R (T_3 - T_1) \ln \frac{V_4}{V_3} = R (T_H - T_C) \ln r_V$$

เมื่อ r_V คือ อัตราส่วนการอัด V_4/V_3 หรือ V_1/V_2

ความร้อนที่ถ่ายเทให้กับวัฏจักรคือ

$$q_H = T_3 (s_4 - s_3) = R T_3 \ln \frac{V_4}{V_3} = R T_H \ln r_V$$



รูปที่ 2 วัฏจักรสเตอร์ลิง

และประสิทธิภาพของวัฏจักรจะเป็น

$$\eta = \frac{W_{net}}{q_H} = 1 - \frac{T_1}{T_3} = 1 - \frac{T_C}{T_H}$$

ซึ่งเท่ากับประสิทธิภาพเครื่องไอน้ำนั้นเอง

ความดันเฉลี่ยประสิทธิผลของวัฏจักรสเตอร์ลิงอากาศมาตรฐานจะหาได้จาก

$$W_{net} = p_m (v_4 - v_3) = \eta q_H = \left(1 - \frac{T_1}{T_3}\right) T_3 (s_4 - s_3)$$

เนื่องจากกระบวนการให้ความร้อนเกิดขึ้นโดยอุณหภูมิคงที่ ดังนั้นการเปลี่ยนแปลงเอนโทรปี คือ

$$s_4 - s_3 = R \ln \frac{V_4}{V_3}$$

$$\text{ดังนั้น } W_{net} = p_m (v_4 - v_3) = R (T_3 - T_1) \ln \frac{V_4}{V_3}$$

เนื่องจาก $T_2 = T_1$ และโดยการใช้กฎของกําชโนอุตม์คติ จะได้

$$W_{net} = p_m (v_4 - v_3) = (p_3 v_3 - p_2 v_2) \ln \frac{V_4}{V_3}$$

เพราะว่า $v_3 = v_2$ และจากอัตราส่วนการอัด (และการขยายตัวด้วย) $r_v = v_4/v_3 = v_1/v_2$ เราจะได้

$$W_{net} = p_m (v_4 - v_3) = (p_3 - p_2) v_3 \ln r_v$$

ดังนั้นความดันเฉลี่ยประสิทธิผลจะมีค่าเป็น

$$p_m = \frac{(p_3 - p_2)}{r_v - 1} \ln r_v$$

ถ้าการเปลี่ยนแปลงความดันที่เกิดขึ้นในกระบวนการ 2-3 ซึ่งเกิดจากมีการถ่ายเทความร้อนใน regenerator ระหว่างกระบวนการปฏิมาตรคงที่ มีค่าสูงมาก งานสุทธิจะมีค่ามากตามไปด้วย นอกจากนี้ถ้าอัตราส่วนการอัด r_v สูง และปฏิมาตรจำเพาะหลังถูกอัด v_3 มีค่ามาก งานสุทธิจะมีค่ามากตามไปด้วย

เงื่อนไขการออกแบบ

ลักษณะของโครงสร้าง

แกมม่า

ลักษณะการทำงานของ Power piston ทำงานด้านเดียว

กําชทำงานที่ใช้ อากาศ

กระบวนการความร้อน อากาศ

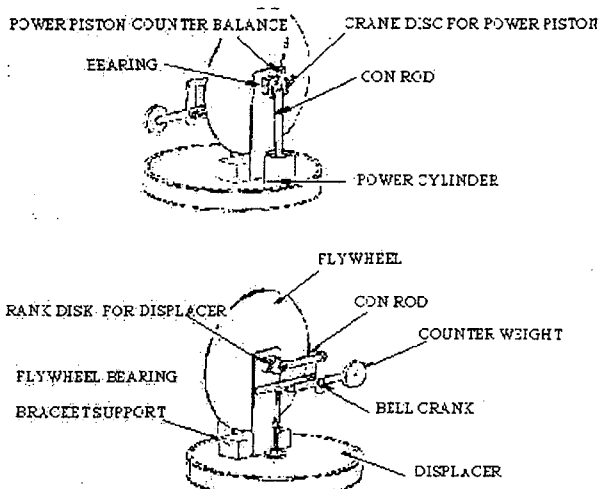
อัตราส่วนปฏิมาตร $r_c = 40:1$

ปริมาตร Power cylinder 9.7 cm^3

ปริมาตร Displacer cylinder 388 cm^3

รูปแบบของเครื่องยนต์

รูปแบบโดยรวมของเครื่องยนต์ที่ออกแบบได้แสดงไว้ในรูปที่ 3 เป็นเครื่องยนต์แบบสูบด้ึงซึ่งประกอบด้วย power piston แบบทำงานด้านเดียวขนาด 9.7 cc จำนวน 1 สูบ และ displacer ขนาด 388 cc จำนวน 1 สูบ อุปกรณ์ในการให้ความร้อนใช้ตระเกียงอัลกอฮอล์ และในการระบายน้ำความร้อนใช้อากาศ หรือน้ำแข็งในแก้ววางบนฝาสูบด้านบนของ displacer



รูปที่ 3 เครื่องยนต์สเตอร์ลิงที่ออกแบบสร้าง

อุปกรณ์ที่ใช้ในการทดสอบ

1. เครื่องยนต์สเตอร์ลิงที่ออกแบบสร้าง

2. อุปกรณ์ในการระบายน้ำความร้อนใช้แก้วน้ำเย็นใส่น้ำแข็งขนาด 150 cc
3. อุปกรณ์ในการให้ความร้อนใช้ตระเกียงอัลกอฮอล์
4. เครื่องมือวัด ประกอบด้วย เครื่องวัดความเร็วอบยี่ห้อ Digicon รุ่น DT-250TP ความละเอียด 0.1 rpm ตาชั่งดิจิตอลยี่ห้อ Ishida รุ่น MT-150 ความละเอียด 0.01 kg นาฬิกาจับเวลา.yี่ห้อ Seiko ความละเอียด 0.01 วินาที Thermocouple รุ่น AI-305 ความละเอียด 0.1°C

วิธีทดสอบ ทำการทดสอบโดยเป็นการให้ความร้อนคงที่ วัดอุณหภูมิด้านร้อนและด้านเย็นเมื่อเครื่องยนต์ติดแล้ววัดความเร็วอบ

ผลการวิจัยและวิจารณ์ผล

จากการทดสอบพบว่าเครื่องยนต์สามารถติดได้ที่ความแตกต่างของอุณหภูมิประมาณ 15°C ต่ำกว่าความเร็วอบของเครื่องยนต์จะสูงขึ้นเรื่อยๆ จนคงที่ ซึ่งจะได้ความเร็ววิริภาระของเครื่องยนต์อยู่ที่ประมาณ 97.8 rpm ต่อนาที โดยด้านร้อนมีอุณหภูมิ 100°C มีความแตกต่างของอุณหภูมิประมาณ 58°C คำนวณได้กำลังประมาณ 0.308 W ที่ 76 rpm ประสิทธิภาพประมาณ 15.55%

สรุป

จากการทดลองจะเห็นได้ว่ากำลังและประสิทธิภาพทางความร้อนที่ได้นั้นมีค่าไม่สูงมากนัก สาเหตุนี้เนื่องมาจาก การสูญเสียความร้อนในกระบวนการถ่ายเทความร้อนและแรงเสียดทานที่เกิดขึ้น การสูญเสียความร้อนภายในระบบเกิดเนื่องจากความร้อนที่ได้จากการเผาไหม้ของอัลกอฮอล์ มีการสูญเสียให้กับการหล่อเย็นโดย regenerative matrix เก็บสะสมความร้อนไม่ได้ทั้งหมดและการสูญเสียจากการเผาไหม้ไม่สมบูรณ์ของเชื้อเพลิง

ข้อเสนอแนะสำหรับงานวิจัยในอนาคต

จากการศึกษาในขั้นต้นนั้นพบว่าประสิทธิภาพของเครื่องยนต์นั้นยังต่ำเนื่องจากความสูญเสียความร้อนที่ป้อนให้กับเครื่องยนต์ และการร้าวของอากาศร้อนที่ displacer rod และ power piston rod เพราะเป็นการกันร้าวด้วยน้ำมัน ทำให้อากาศร้าว่าย การร้าวที่ฝาสูบของ displacer ก็สำคัญเช่นกัน สิ่งที่ควรปรับปรุงอีก็คือฝาสูบของ displacer ควรเป็นวัสดุที่ถ่ายเทความร้อนได้ดีกว่านี้ ระบบอุกสูบของ displacer ควรเป็นฉนวนและทนความร้อนได้ดีกว่านี้ และบริเวณ regenerative matrix จะต้องมากพอที่จะเก็บความร้อนภายใต้ไว้ ให้ด้านเย็นมีอุณหภูมิไม่สูงกว่าอุณหภูมิบรรยายกาศมากนัก

กิตติกรรมประกาศ

ขอขอบคุณ นายเฉลิมศักดิ์ ชื่อสัตย์ นายธนภูมิ จันทเบต และนายวัชระ ไยผุย นิสิตภาควิชาวิศวกรรมเครื่องกล คณะวิศวกรรมศาสตร์ มหาวิทยาลัยศรีนครินทรวิโรฒ องครักษ์ ที่เข้าร่วมทำโครงการ วิศวกรรมศาสตร์ จังหวัดทั้งงานวิจัยชิ้นนี้เป็นผลสำเร็จ

เอกสารอ้างอิง

- [1] Howell, J.R. and Buckius, R.O. 1992. *Fundamentals of engineering Thermodynamics*, 2nd ed., McGraw-Hill, New York.
- [2] Meijer, R.F. 1997. Stirling engine, in *McGraw-Hill Encyclopedia of Science and Technology*, 8th ed., pp. 446-450, McGraw-Hill, New York.
- [3] Rizzo, J.G. 1997. *The Stirling engine manual*, Camden Miniature steam services, Somerset.
- [4] Stine, W.B. 1998. Stirling engines, in *The CRC Handbook of Mech. Eng.* CRC Press, Boca Raton.
- [5] Senft, J. R. 1993 *Ringbom Stirling Engines*, Oxford University Press, New York.
- [6] Stine, W.B. and Diver, R.E. 1994. A Compendium of Solar Dish Stirling Technology, Report SAND94-7026, Sandia National Laboratories, Albuquerque, NM 87185.
- [7] Walker, G. 1980. *Stirling engines*, Clarendon Press, Oxford.
- [8] West, C.D. 1986. *Principles and Applications of Stirling Engines*, Van Nostrand Reinhold, New York